

不同 Fe_2O_3 原料及烧结温度对 NiZn 铁氧体材料性能的影响

陈诚海，徐方舟，马占华，潘晓东

天通控股股份有限公司 磁性材料研究所，浙江海宁 314412

摘要：采用传统氧化物法制备了主配方为 $(\text{NiO})_{0.40}(\text{CuO})_{0.12}(\text{ZnO})_{0.48}(\text{Fe}_2\text{O}_3)$ 的 NiZn 铁氧体材料，研究了不同 Fe_2O_3 原料及烧结温度对材料电磁性能的影响。研究表明，含杂量较多的 Fe_2O_3 原料与含杂量较少原料制备的样品相比，两者在较高的烧结温度下磁性能相当；在较低的烧结温度下含杂量较多的 Fe_2O_3 原料制品表现出较好的磁导率水平，但饱和磁通密度略差。总体上看，使用含杂量较多的 Fe_2O_3 原料代替含杂量较少 Fe_2O_3 原料仍有一定的局限性。

关键词：NiZn 铁氧体， Fe_2O_3 ，含杂量，烧结温度，磁性能

Influence of different Fe_2O_3 raw materials and sintering temperature on the properties of NiZn Ferrite

CHEN Cheng-hai, XU Fang-zhou, MA Zhan-hua, PAN Xiao-dong

Soft Magnetic Material Institute, TDG Holding Co, Ltd, Haining 314412, China

Abstract: The $(\text{NiO})_{0.40}(\text{CuO})_{0.12}(\text{ZnO})_{0.48}(\text{Fe}_2\text{O}_3)$ NiZn ferrites were prepared by conventional ceramic technique, and the effects of different Fe_2O_3 raw materials and sintering temperature on magnetic properties of NiZn ferrite were investigated. It is found that the magnetic properties of NiZn ferrite prepared using more-impurity Fe_2O_3 raw materials are comparable with using less-impurity Fe_2O_3 raw materials at higher sintering temperature. At low sintering temperature the more-purity Fe_2O_3 raw materials increased the permeability, but decreased the saturation magnetic flux density. In general, it still has some limitations to use more-purity Fe_2O_3 raw materials instead of less impurity Fe_2O_3 raw material.

Key words: NiZn ferrite, Fe_2O_3 , impurity, sintering temperature, magnetic performance

中图分类号：TM27 文献标识码：B 文章编号：1606-7517(2016)05-3-144

1 引言

随着现代社会的高速发展和科技飞跃，软磁铁氧体材料在汽车电子、自动控制、家电、计算机、通信、绿色能源等领域 [1] 的应用日益广泛，高性能软磁铁氧体的需求日渐增大。高饱和磁通密度材料作为典型的一类 NiZn 铁氧体材料，具备高电阻率 (ρ)、低矫顽力 (H_c)、低相对损耗因数和良好的高频性能等优点，在高频领域有着广泛的应用^[2-4]。在实际应用中，高饱和磁通密度是实现功率电感

具有良好地直流叠加特性的基本条件，所以高饱和磁通密度 NiZn 材料迎合了市场的发展方向，潜力巨大^[5]。

NiZn 铁氧体一般在空气中烧结，目前，国内很多企业使用的是纯度较高、价格昂贵的原料，而日本已经开始使用含杂量较多的 Fe_2O_3 原料，所以国内企业的原料成本已不占优势。本实验利用不同 Fe_2O_3 原料通过氧化物法制备了 NiZn 材料，分析不同 Fe_2O_3 原料和烧结温度对 NiZn 材料性能的影响，旨在探索利用含杂量较多的 Fe_2O_3 原料能

否代替含杂量较少的 Fe_2O_3 原料，并获得与之性能相当或者更好的水平，从而达到降低成本和节能（降低烧结温度）的可能性，为低成本高性能的 NiZn 软磁铁氧体材料的开发提供参考。

2 实验

采用传统的氧化物法工艺，以市售的 NiO 、 CuO 、 ZnO 和 Fe_2O_3 为基本原料，选取两种含杂量不同的 Fe_2O_3 原料（对应的原料分别标记为 A 类、B 类），按配方 $(\text{NiO})_{0.40}(\text{CuO})_{0.12}(\text{ZnO})_{0.48}(\text{Fe}_2\text{O}_3)$ 进行称量配料，按照球：料：水 = 5 : 1 : 1 的比例进行一次砂磨 1h，原材料均匀混合后进行干燥；然后在 800℃下进行预烧，保温 2h；预烧后再在砂磨机中按照球：料：水 = 5 : 1 : 1 进行二次砂磨 2h，并加入杂质 WO_3 ；将二次砂磨料烘干过筛后，加入 13% 的聚乙烯醇造粒；压制成外径 14.80mm、内径 9.25mm、高度 7.60mm 的样环，在高温箱式电阻炉中分别于 1075℃、1050℃、1025℃、1000℃进行烧结，保温 3h 后随炉冷却得到样品。

采用化学滴定法 Fe_2O_3 的含量；采用电感耦合等离子原子发射光谱仪 (ICP-OES) 测试原料的成分和杂质含量；采用安捷伦公司的 HP4284A 测试仪测试样品的电感、品质因数 Q，按公式 (1) 计算起始磁导率；采用 SY-8258 B-H 分析仪测试样品的饱和磁通密度 B_s ，测试条件为：f=1kHz，H=4000A/m。

$$\mu_i = \frac{L \times 10^{10}}{2hN^2Ln(D/d)} \quad (1)$$

μ_i 为起始磁导率；L 为制品电感 (H)；N 为绕组匝数；D 为样品外径 (mm)；d 为样品内径 (mm)；h 为样品厚度 (mm)。

3 结果与分析

3.1 不同 Fe_2O_3 原料的性能对比

表 1 不同 Fe_2O_3 原料性能对比

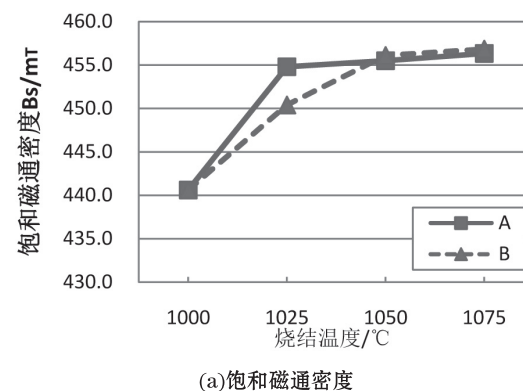
测试项目	原料A	原料B
$\text{Fe}_2\text{O}_3(\text{wt}\%)$	99.32	99.32
$\text{CaO}(\text{wt}\%)$	0.0069	0.0075
$\text{SiO}_2(\text{wt}\%)$	0.0079	0.0089
$\text{MgO}(\text{wt}\%)$	0.0037	0.0031
$\text{P}_2\text{O}_5(\text{wt}\%)$	< 0.0010	0.0212
$\text{MnO}(\text{wt}\%)$	0.3439	0.4431
APS粒度(μm)	0.48	0.85

表 1 给出了不同 Fe_2O_3 原料的主要性能。由表可见，A、B 两种原料主含量 Fe_2O_3 的成分相同，但原料 B 的杂质含量普遍偏高，尤其是 P_2O_5 和 MnO 的含量。另外原料 B 在平均粒度方面也较大。

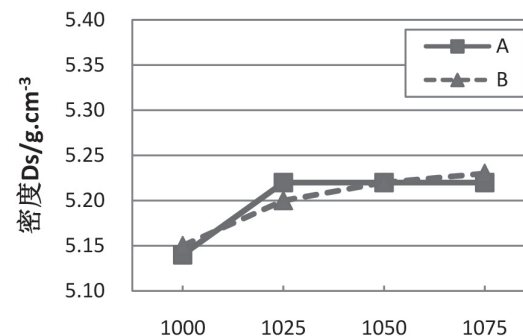
3.2 不同 Fe_2O_3 原料的制备的 NiZn 铁氧体性能对比

图 1(a) 为两种 Fe_2O_3 原料 A、B 在不同烧结温度制备的样品烧结密度 D_s 对比。从图中我们可以发现，1025℃ 烧结温度下原料 B 制备的样品密度稍低，对应的在其它烧结温度下的样品烧结密度相差不大，这表明原料 B 虽平均粒径偏大，但反应活性与原料 A 相当。

图 1(b) 为两种 Fe_2O_3 原料 A、B 在不同烧结温度制备的样品饱和磁通密度 B_s 对比。从图中我们可以看出这两种原料制备的样品 B_s 变化趋势相同，即随着烧结温度提高， B_s 逐渐增大。在 1025℃ 时由原料 B 制备的样品 B_s 略低于原料 A，其它烧结温度下 B_s 基本相同。我们知道 NiZn 材料的 B_s 主要受主配方和密度影响，当主配方一定时，材料的密度就成为影响 B_s 的主要因素^[6]，当烧结温度达到 1025℃ 时，可能的原因是原料 B 含杂量比较多，降低了固



(a)饱和磁通密度



(b)烧结密度

图 1 不同 Fe_2O_3 原料 A、B 在不同烧结温度下性能

相反应的速率，晶粒生长程度比原料 A 慢，结构致密化程度不高，导致密度比原料 A 稍低，从而影响了 B_s ，这与图 1(a) 相对应。

图 2(a) 为不同 Fe_2O_3 原料 A、B 在不同烧结温度制备的样品初始磁导率 μ_i 对比。由图可知，在 1050~1075℃ 烧结时，原料 B 制备的样品磁导率水平相对较低，但与原料 A 相差不大。在较低温度 1000℃ 下烧结时，原料 B 制备的样品初始磁导率水平要优于原料 A 制备的样品，且磁导率曲线在不同的烧结温度下变化比较平缓，这主要是由于原料 B 中含 P_2O_5 等低熔点杂质含量较高（对应表 1），磷的瞬时液相烧结作用活化了烧结过程，在较低烧结温度下促进了晶粒的生长及致密化，提高了烧结密度，且晶粒平均尺寸增大；而含杂量较低的原料 A 在此温度下，固相反应不够充分，晶粒分布不均匀，结构致密化度不高，气孔率较高，磁导率表现出较差的水平。当烧结温度逐渐升高时，

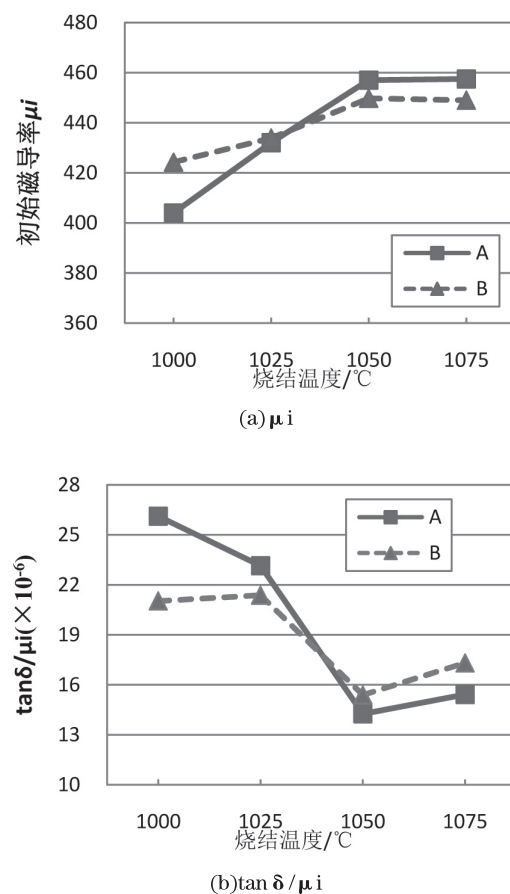


图 2 不同 Fe_2O_3 原料 A、B 在不同烧结温度下的性能

原料 B 中过多的杂质含量造成铁氧体材料中气孔率的增加，导致畴壁运动困难，从而磁导率也低于含杂量较少的原料 A 制品。

图 2(b) 为不同烧结温度下原料 A、B 制品相对损耗因数 $\tan \delta / \mu_i$ 对比。从图中可见，两种原料制备的样品随着烧结温度的提高，相对损耗因数逐渐降低，这与磁导率变化相对应。当烧结温度为 1050℃ 时，两者相对损耗因数达到最低。

4 结论

(1) 在 1025℃ 烧结时，含杂量较多的 Fe_2O_3 原料制备的样品比含杂量较少的 Fe_2O_3 原料制备的样品饱和磁通密度方面略低，但两者总体水平相当。

(2) 含杂量较多的 Fe_2O_3 原料在较低的烧结温度下表现出较高的磁导率水平，随着烧结温度的提高，磁导率水平略差于含杂量较少 Fe_2O_3 原料制备的样品，但总体相差不大。

(3) 含杂量较多的 Fe_2O_3 原料可以获得与含杂量较少 Fe_2O_3 原料制备的样品相当的性能，但使用含杂量较多的 Fe_2O_3 原料代替含杂量较少 Fe_2O_3 原料仍有一定的局限性。

参考文献

- [1] 阳开新. 软磁铁氧体制作技术. 工信部磁性材料及器件专业情报网.
- [2] 王自敏. 软磁铁氧体生产工艺与控制技术. 北京: 化学工业出版社, 2013: 59-63.
- [3] 陈盛明. 锰锌软磁铁氧体磁芯抗折强度的研究 [J]. 磁性材料及器件, 2006, 37(2): 49-51.
- [4] 张有纲, 黄永杰, 罗迪民. 磁性材料 [M]. 成都: 成都电讯工程学院出版社, 1988: 22-24.
- [5] Stoppels D. Developments in soft magnetic power ferrites [J]. J Magn Magn Mater, 1996, 160(1): 323-328.
- [6] 田守政, 冯则坤. NiZn 铁氧体内禀参数影响因素研究 [J]. 压电与声光, 2011, 33(5): 800-803.

作者简介

陈诚海 (1988~), 硕士研究生, 主要从事高性能 NiZn 铁氧体材料的开发。